

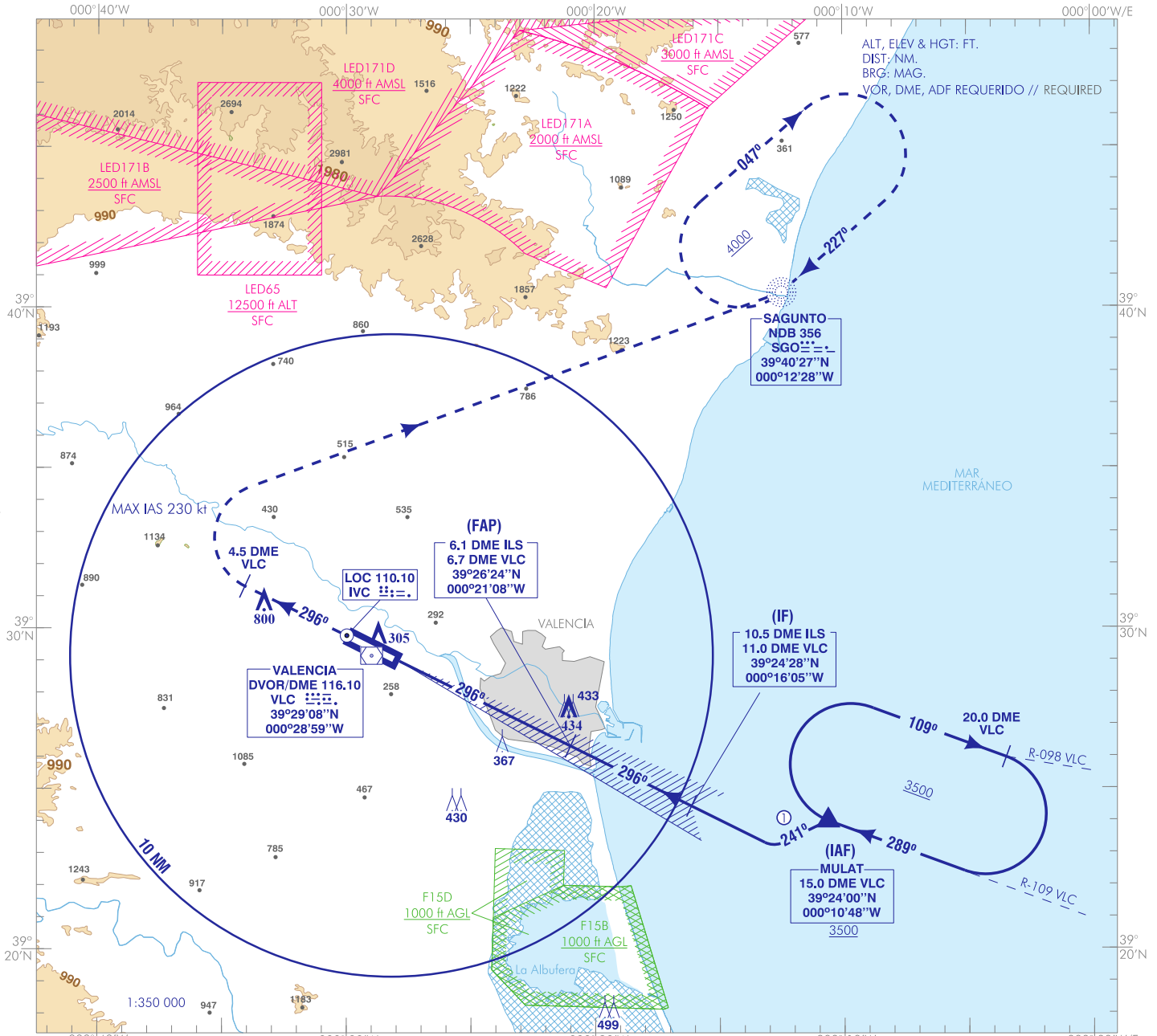
CARTA DE APROXIMACIÓN
POR INSTRUMENTOS-OACI

ELEV AD
240
VAR 1°E (2020)

APP 120.100
TWR 118.550
GMC 121.875
ATIS 121.075

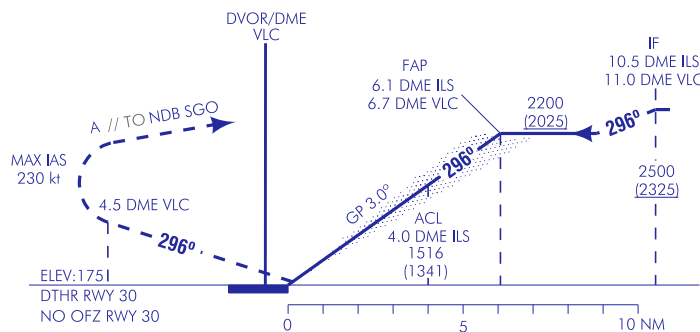
VALENCIA
ILS
RWY 30

CAMBIOS: MSA, EN CIRCUITO CAT A; ZONAS; COORD DVOR EN LUGAR DEL DME, OBST, RETIRADA NDB PND, TRAMO DE APROXIMACIÓN INICIAL DESDE NDB PND E IAF Y ESPERA SOBRE NDB PND, CAMBIO EDITORIAL. CHANGES: MSA, CIRCLING CAT A, AREAS; COORD DVOR INSTEAD OF DME; OBST; NDB PND; INITIAL APPROACH SEGMENT FROM NDB PND AND IAF AND HOLDING OVER NDB PND REMOVAL; EDITORIAL CHANGE.



FRUSTRADA: SUBIR EN RUMBO DE PISTA HASTA 4.5 DME VLC. VIRAR A LA DERECHA (IAS MAX 230 kt) DIRECTO A NDB SGO ASCIENDIENDO A 4000 PARA INCORPORARSE A LA ESPERA.
MISSED APCH: CLIMB ON RUNWAY HEADING UP TO 4.5 DME VLC. TURN RIGHT (MAX IAS 230 kt) DIRECT TO NDB SGO CLIMBING TO 4000 TO JOIN THE HOLDING.

- NOTAS:
① TRAMO A ESTIMA NO ESTÁNDAR.
NOTES:
① NON STANDARD DEAD RECKONING SEGMENT.

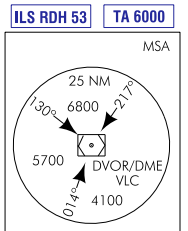


HGT REF ELEV DTHR RWY 30

OCA/H	A	B	C	D
CAT I	420 (245)	432 (257)	440 (265)	451 (276)
En circuito (H) sobre Circling (H) over 240	830 (600)	1170 (940)	1280 (1050)	1630 (1400)

GS	kt	80	100	120	140	160	180
FAP-THR: 6.1 NM	min:s	4:34	3:39	3:03	2:37	2:17	2:02
FAP-MAPT:	min:s						
ROD: 5.2 %	ft/min	425	531	637	743	849	955

ALT/HGT DME (ILS) FNA							
13	12	11	10	9	8	7	6
							5
							4
							3
							2
							1
							2180 (2000)
							1850 (1670)
							1520 (1350)
							1200 (1020)
							870 (700)
							550 (380)



VALENCIA AD

REQUISITOS DE LA BASE DE DATOS AERONÁUTICA
 AERONAUTICAL DATABASE REQUIREMENTS

PROCEDIMIENTOS DE APROXIMACIÓN POR INSTRUMENTOS // INSTRUMENT APPROACH PROCEDURES

ILS RWY 30

PUNTO POINT	LAT	LONG	AZIMUT VERDADERO TRUE BEARING	DISTANCIA DME DME DISTANCE (NM)
MULAT (IAF)	39°23'59.7"N	000°10'47.7"W	109.94° (VLC)	15.00 DME VLC
IF	39°24'27.7"N	000°16'05.0"W	116.16° (LOC IVC)	10.45 DME ILS
FAP	39°26'23.6"N	000°21'07.7"W	116.16° (LOC IVC)	6.09 DME ILS
Aproximación final de precisión - Pendiente (Ángulo de descenso) // Precision final approach - Slope (Descent angle)				5.24% (3.00°)